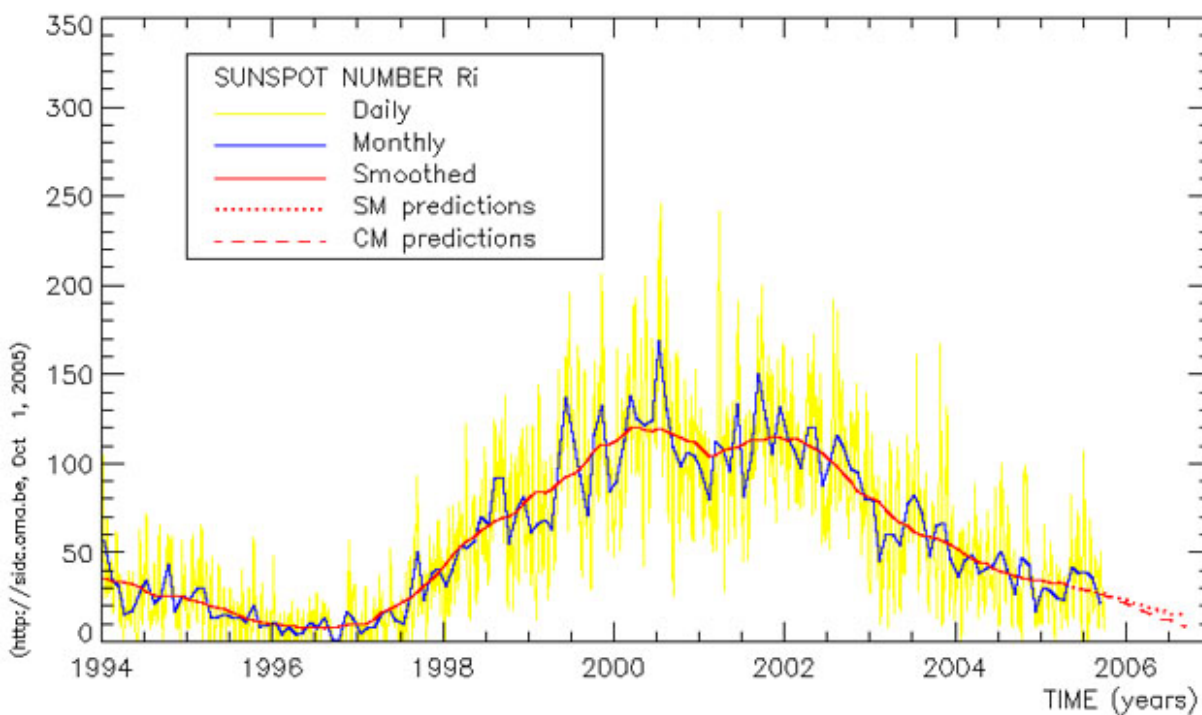


**Settembre 2005**

Nel mese di Settembre l'attività solare è risultata molto elevata, soprattutto sotto l'aspetto X. Il numero di Wolf calcolato dal SIDC, è infatti diminuito rispetto al mese precedente, mentre il flusso radio a 10.7 cm, si è mostrato in crescita nel periodo 7-18 Settembre, in concomitanza con la violenta attività X, occorsa in quel determinato periodo. I brillamenti del mese, sono stati molto numerosi ed intensi, con ben 26 M e 10 X, facendo così impennare l'indice XMI, che si è attestato ad un valore **XMI = 48.06**.

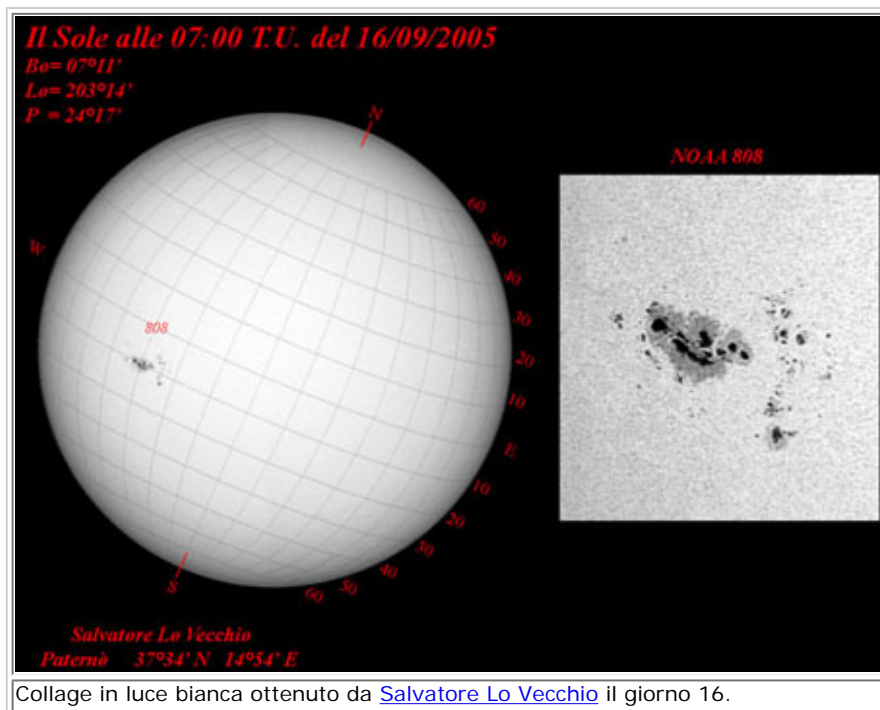
**La media provvisoria del numero di Wolf, calcolata dal SIDC per il mese di Settembre è lievemente diminuita rispetto al mese precedente, attestandosi a 22.1**

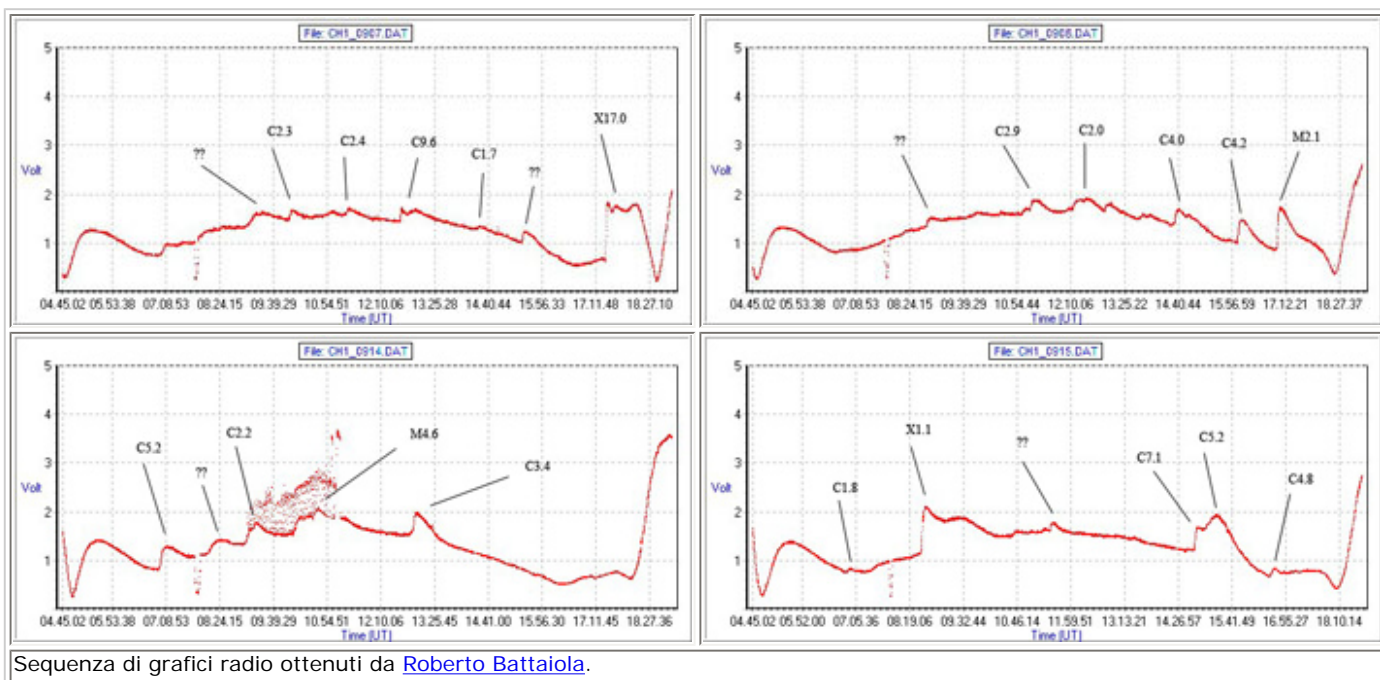
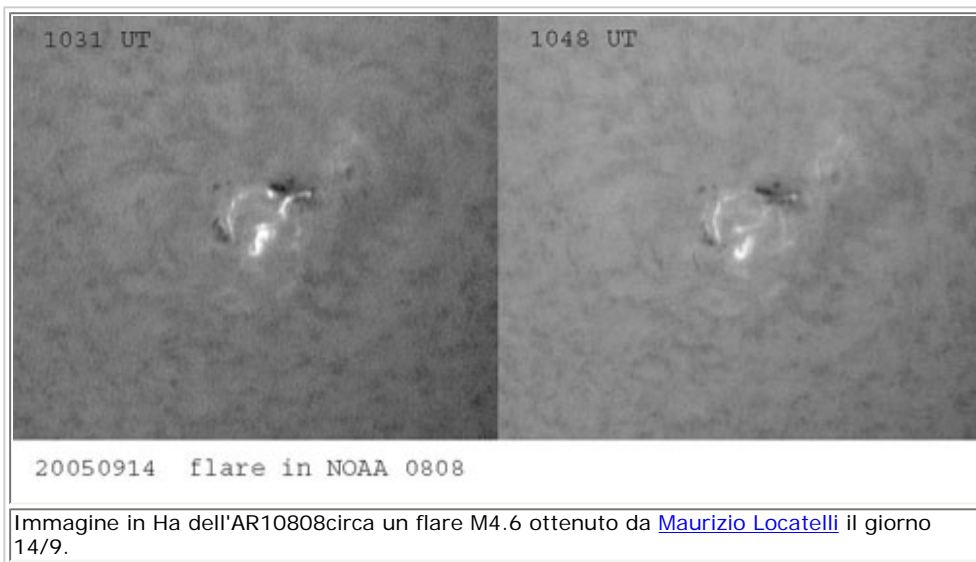


Tutta l'attività X di cui abbiamo fin ora parlato, è stata generata da un solo gruppo l'**AR10808 S11Lo229**, che rappresenta il ritorno dell'**AR10798**. Ritornata il giorno 7, già dal giorno precedente aveva fatto sentire la sua influenza, generando un violento brillamento M, con CME associato. Fin dalla sua comparsa, ha evidenziato una struttura molto complessa. Il giorno 9 era alla sua massima copertura d'area con ben 1430 mesv, una tipologia Fkc e classificazione magnetica BGD. Nei giorni successivi, ha iniziato a diminuire in area, però frastagliandosi sempre più; ha aumentato il conteggio maculare, raggiungendo le 80 macchie il giorno 11. Ha poi proseguito in un lento declino, pur mantenendo una notevole attività XZ. Il giorno 20 è tramontata. Al suo attivo sono da registrar ben 20 brillamenti M e tutti i 10 X avvenuti nel mese. Volendo utilizzare l'indice XMI, possiamo notare solo in questo passaggio l'AR10808, ha collezionato un XMI=44.79, che è circa uguale alla somma del periodo Novembre 2004-Maggio 2005! Nella classifica dei brillamenti più energetici, l'AR10808 si colloca al 5° posto con il brillamento X17 avvenuto il giorno 7, come riportato nella tabella seguente, redatta da [J. Janssen](#).

Rank	Year	Flare Maximum			Location		Region NOAA	Proton flare (> 10 MeV)			Geomagnetic	
		Date/Time (UT)	X-Ray	H- $\alpha$	Latitude	Elongation		Start	Maximum	Pfu	Ap	ap max
1	2003	Nov 04/1929	<b>X28,0</b>	3B	S19	W83	10486	Nov 04/2225	Nov 05/0600	353	17	67
2	1989	Aug 16/0228	<b>X20,0</b>	2N	S18	W84	5629	Threshold not reached			34	67
3	2001	Apr 02/2215	<b>X20,0</b>	?	N14	W82	9393	Apr 02/2340	Apr 03/0745	1100	23	56
4	2003	Oct 28/1124	<b>X17,2</b>	4B	S16	E08	10486	Threshold not reached			204	400
5	2005	<i>Sep 07/1740</i>	<i>X17,0</i>	<i>3B</i>	<i>S12</i>	<i>E90</i>	<i>10808</i>	<i>Sep 08/0215</i>		<i>112</i>		
6	1989	Mar 06/1624	<b>X15,0</b>	3B	N35	E69	5395	Mar 08/1735	Mar 13/0645	3500	31	67
7	2001	Apr 15/1350	<b>X14,4</b>	2B	S20	W85	9415	Apr 15/1410	Apr 15/1920	951	50	154
8	1989	Oct 19/2013	<b>X13,0</b>	4B	S27	E10	5747	Oct 19/1305	Oct 20/1600	40	146	236
9	1984	Apr 25/0140	<b>X13,0</b>	3B	S12	E43	4474	Apr 25/1330	Apr 26/1420	2500	103	179
10	1982	Dec 15/0326	<b>X12,9</b>	2B	S10	E24	4026	Dec 17/1845	Dec 18/0945	130	62	154
11	1991	Jun 04/0730	<b>X12,0</b>	3B	N30	E70	6659	Jun 04/0820	Jun 11/1420	3	196	300
12	1991	Jun 11/0320	<b>X12,0</b>	3B	N31	W17	6659	Threshold not reached			120	179
13	1991	Jun 15/1117	<b>X12,0</b>	3B	N33	W69	6659	Jun 14/2340	Jun 15/1950	1400	67	154
14	1991	Jun 01/1614	<b>X12,0</b>	1F	N25	E90	6659	Threshold not reached			60	132
15	1991	Jun 06/0215	<b>X12,0</b>	4B	N33	E44	6659	Threshold not reached			27	56
16	1982	Jun 06/1912	<b>X12,0</b>	3B	S11	E26	3763	Jun 09/0040	Jun 09/0510	30	16	48
17	1982	Dec 17/2143	<b>X10,1</b>	3B	S08	W21	4025	Threshold not reached			46	80
18	1984	May 21/0037	<b>X10,1</b>	2B	S09	E52	4492	Threshold not reached			30	67
19	1991	Jan 25/0638	<b>X10,0</b>	SF	S16	E78	6471	Threshold not reached			11	22
20	1991	Jun 09/0424	<b>X10,0</b>	3B	N34	E04	6659	Threshold not reached			119	179
21	2003	Oct 29/2101	<b>X10,0</b>	2B	S15	W02	10486	Threshold not reached			191	400

©J. Janssen





Sequenza di grafici radio ottenuti da [Roberto Battaiola](#).

Regioni attive più rilevanti del mese					
Gruppo	Posizione	Sorta	Tramontata	Tipo e Max estensione	Area (*)
AR10808	S11Lo229	7/9	20/9	Fkc 9/9	1430 ex AR10798
AR10810	N09Lo107	17/9	30/9	Eki 23/9	250

Attività Solare Settembre 2005									
Giorno	GSRSI	NOAA	AAVSO	SIDC	Giorno	GSRSI	NOAA	AAVSO	SIDC
1	35	24	23	17	17	64	59	58	35
2	35	28	20	14	18	57	50	52	33
3	14	14	14	9	19	43	43	37	26
4	13	12	13	9	20	31	23	24	18
5	15	12	13	8	21	28	19	22	13
6	13	12	11	8	22	25	28	23	14
7	18	11	16	14	23	35	49	27	19
8	36	36	30	20	24	43	33	23	17
9	35	59	43	28	25	34	28	25	16
10	64	59	53	35	26	42	25	29	22
11	71	101	57	34	27	27	23	25	16
12	76	62	70	37	28	62	22	22	15
13	107	95	72	50	29	24	22	21	14
14	71	86	64	44	30	14	13	9	7
15	70	77	58	39	31				
16	62	51	55	33	Medie	41.1	39.2	33.6	22.1

Riportiamo di seguito i dati **Catania** e **BAA** relativi al mese di Agosto, non presenti nello scorso bollettino:

Attività Solare Catania-BAA Agosto 2005								
Giorno	Catania	BAA	Giorno	Catania	BAA	Giorno	Catania	BAA
1	109	84	12	49	29	23	56	46
2	161	80	13	32	24	24	93	50
3	73	62	14	48	37	25	105	53
4	96	52	15	36	37	26	61	51
5	66	51	16	48	31	27	82	61
6	50	44	17	37	25	28	86	59
7	68	56	18	28	28	29	nc	55
8	64	50	19	82	58	30	nc	39
9	48	48	20	101	58	31	45	35
10	45	25	21	85	56			
11	35	31	22	78	53	Medie	67.8	47.3